

FWHT에 의한 디지털신호의
비화 방법
A Method of Secreting Digital
Signals by FWHT

*김 장 복(Kim, C. B.)

요 약

ISDN에 응용될 수 있는 신호의 비화방식에 대하여 연구되었다. FWHT algorithm을 응용하여, FWHT 계수의 부호를 16자의 password에 의하여 조정함으로써 그 비화성이 3×10^{38} 이상 되도록 하였으며 기계어에 의한 module을 최적합하게 작성함으로써 시스템에의 firmware화가 쉽도록 하였으며 시스템을 최소화 할 수 있도록 하였다. printed data에 대한 computer simulation으로 N=128일때의 비화 특성을 보였다.

ABSTRACT

Fast Walsh-Hadamard Transform algorithm is discussed for secreting digital signals in ISDN. 16 characters are used for the password to control the coefficients of FWHT. And it gives above 3×10^{38} codes. The FWHT module is presented in machine language. So it is applicable to compact cipher system or firmware system. Computer simulation showed secreting characteristics in printed data for N=128.

I. 서 론

미래의 정보 통신 서비스는 ISDN(integrated service for digital network)으로 불리는 종합 정보 통신망에 의해 이루어질 것으로 예견되고 있다. 이 ISDN은 디지털 통신망을 토대로 하여 발전하므로 ISDN의 성립을 위해서는 전화망의 디지털화가 이루어져야 하며, 음성 및 비음성 신호를 동일 통신망에서 처리할 수 있는 방식이 필요해진다. 또한 ISDN의 발전에 따라 개인의 많은 정보가 통신망 선로상에 주어질 수 있게 됨으로 개인의 프라이버시가 침해될 수 있어 그 방지책이 필요해진다. 미국에서는 육상회선 전화뿐만 아니라 셀룰러, 마이크로웨이브 및 레이저등을 포함한 무선 전화에까지 프라이버시 보호권을 지니도록 하였다¹⁾

Expo/East에서 제기된 산업계의 관심사도 어떻게 정보의 비밀을 유지하느냐 하는 문제였다. 더군다나 전화 상대가 부재시에 미리 정해둔 전화 번호에 의해 음성 축적 센터를 호출하여 자유로이 메시지를 녹음·재생할 수 있는 전연 다이얼 서비스가 개시됨에 따라 정보의 보호 방법이 크게 대두되었다²⁾⁽³⁾

일반적인 암호화 방법은 음성의 고저를 단위 시간당 수백번 반전시키거나 주파수 스펙트럼의 뒤섞음으로 정보를 변형시키는 것이었으나 그 부수되는 시스템이 복잡하고 상대적으로 커짐에 따라 비경제적 요소가 많았다. 따라서 본 논문에서는 고속 Walsh-Hadamard 변환을 응용하여, 현 통신 시스템에 적합하고 Comput 한 비화 장치에 활용할 수 있는 알고리즘을 보이고자 하였다.

II. 변환 및 비화 방식

PCM신호에 대한 FFT(fast Fourier transform)와 FWHT(fast Walsh-Hadamard transform)의 차

이점은 엄청나다. 임의의 sample data에 관하여 256-point 변환을 할 경우 FFT보다 FWHT가 적어도 12배 이상 빠르다⁴⁾

이것은 FFT에서의 복소수 연산 대신에 FWHT에서는 단순한 가·감 연산만이 요구되기 때문이다. 이 특성은 hardware구성시 FWHT의 최대 장점이 되기도 한다.

한편 Risch는 point 수 N을 변경함에 따라 Walsh 함수, Sinc 함수, Zero-order hold 함수에서의 integral mean square error를 비교 연구하였는데, N이 32이상일 때 Walsh 함수에서의 i. m. s. e가 가장 작은 값으로 빨리 감소됨을 보이고 있다. ⁵⁾

또한 음성 신호를 대상으로 할 경우 현 PCM 신호 체계에서 음성에 stationarity를 유지하도록 128-point 정도가 최대한으로 요구되는 point 수이다. 따라서 FWHT를 활용한 비화기는 32-point, 64-point, 그리고 128-point의 변환시스템이면 족하다.

본 논문에서는 연산 algorithm 상에 명확성을 주기 위해 식(1)과 같은 단순한 Hadamard matrix를 변환에 사용하였다⁶⁾

$$H(u, v) = (-1)^{uv} \quad (1)$$

단,

$$E = \sum_{i=0}^{N-1} u_i v_i \quad (2)$$

$$U_{\text{decimal}} = (U_{n-1} U_{n-2} \dots U_1 U_0)_{\text{binary}} \quad (3)$$

$$V_{\text{decimal}} = (V_{n-1} V_{n-2} \dots V_1 V_0)_{\text{binary}} \quad (4)$$

그리고 비화 방법은 2개 password의 종속관계를 사용하였다. 전체 password는 그림 1과 같이 16자의 길이 - 숫자, Alphabet 대·소문자, 기타 기호 - 를 가지며 system operator가 8자, terminal 사용자의 개인 password 8자로 구성된다.

따라서 발생 가능한 Code의 수가 3×10^{16} 이상임으로 비화성은 종래의 주파수 분할 스크램블법에 비

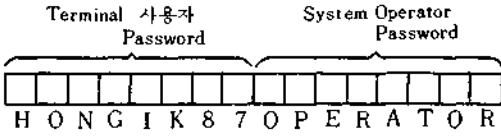


그림 1 Password 규격

하여 비교되지 않을 정도로 크다. 이 방법에 의해 발생할 수 있는 개인 password의 총수는 1.7×10^{16} 종류이상이기 때문에 제 3자에 의한 우연한 도청은 불가능한 편이다. 비화방식은 주어지는 password에

의해 신호 변환 계수의 부호를 전환하는 방식을 썼다.

FWHT의 변환 algorithm은 그림 2의 flowchart와 같이 구성되었으며 기계어로 작성하여 PROM을 이용한 firmware화가 쉽도록 하였다. 작성된 프로그램의 일례를 부록에 보였다.

III. 컴퓨터 모의 실험 및 결과

analog신호의 실험을 위한 기본 시스템은 그림 3

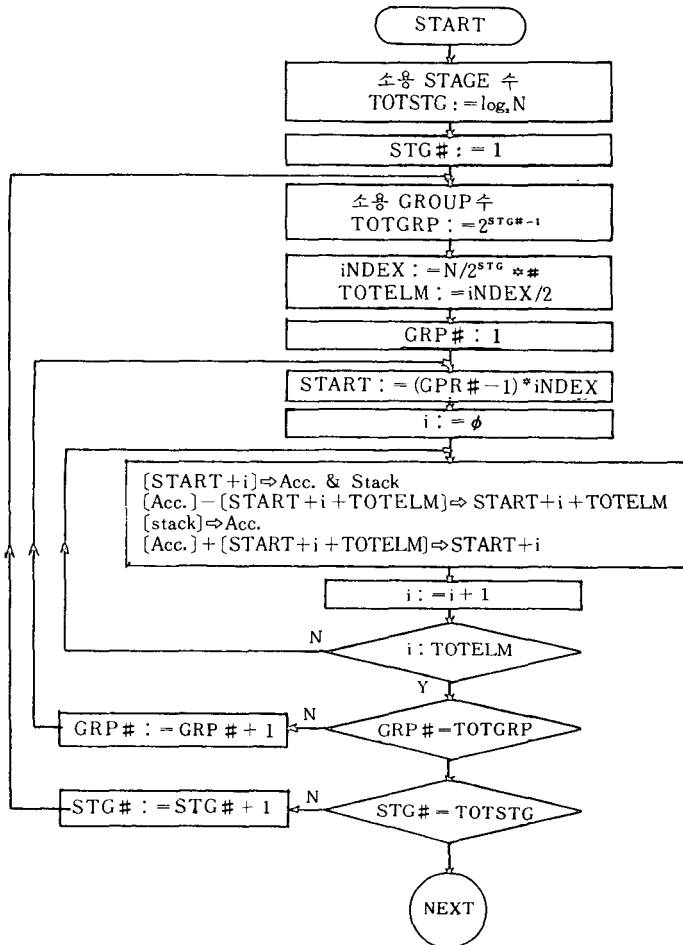


그림 2 FWHT algorithm의 flowchart

과 같으며, 우선 FWHT 프로그램 모듈을 검토하기 위하여 RAM영역에 dump시켜 입·출력 관계를 monitor display로 확인하고, 음성 신호의 처리 관계는 speaker 출력의 hearing test로 확인하였다.

FWHT변환 특성은 음성 신호의 redundancy를 50%로 가정하더라도 128-point에서 40dB 이상의 SQ-NR을 보인다⁷⁾ 좀더 확실한 출력 관계를 구하기 위하여 그림 4와 같은 printed data 처리도에 의한 비화

관계를 확인하였는데 그 결과는 그림 5, 그림 6과 같다.

원신호로서 그림 5(a), 그림 6(a)와 같은 문장을 입력시키고, 이를 변환·비화시킨 data가 그림 5(a), 그림 6(b)이며, 입력시 사용한 password와 다른 것을 사용하여 복화시킨 것이 그림 5(c), 그림 6(c)이고, 그림 5(d), 그림 6(d)는 제 password를 사용하여 재생됨을 보인 것이다. 랜덤 신호 발생기에서 주어진 data

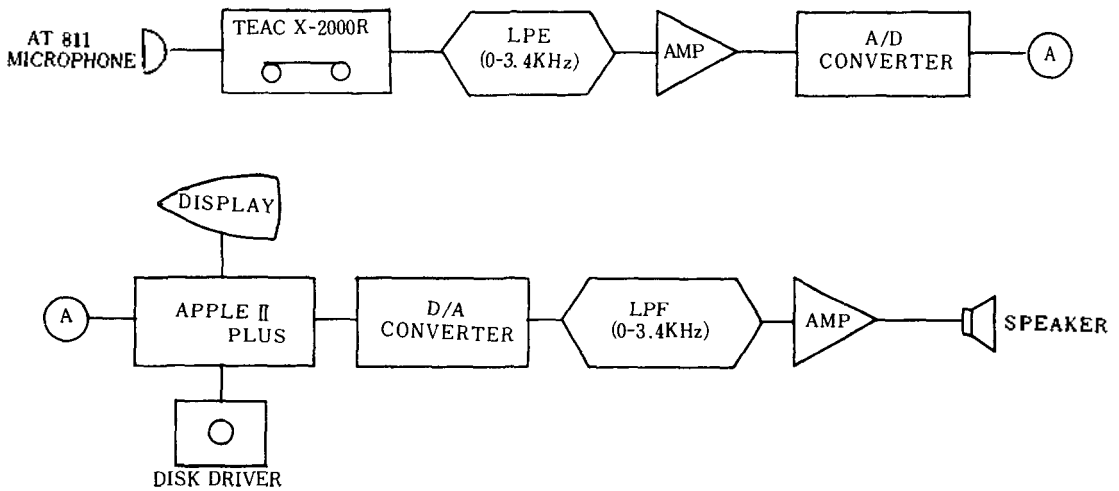


그림 3 기본 모델 시스템

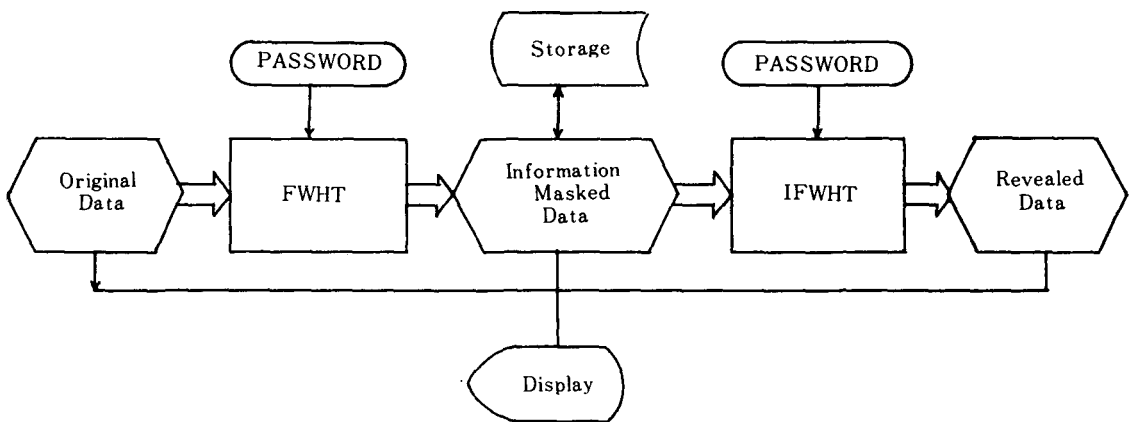


그림 4 printed data 처리개념도

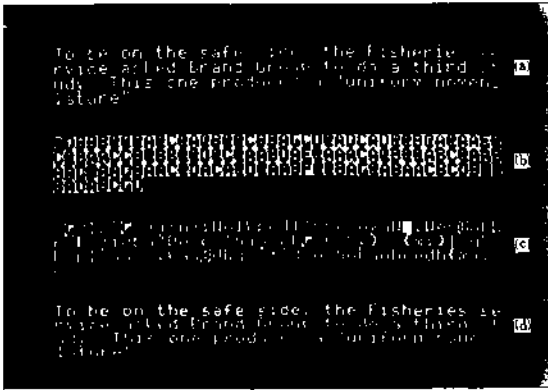


그림 5 printed data의 비화 예 1.
 (a) 신신호 원
 (b) 변환·비화된 신호
 (c) 틀린 password사용 재생신호.
 (d) 제 password사용 재생신호.

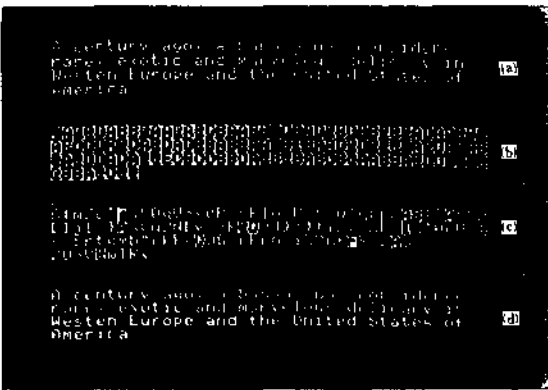


그림 6 printed data의 비화 예 2.
 (a) 원 신호
 (b) 변환·비화된 신호
 (c) 틀린 password사용 재생신호
 (d) 제 password사용 재생신호

를 입력으로 삼은 것이 그림 7이며 그림 7(a)는 발생 신호, 그림 7(b)는 변환·비화 신호, 그림 7(c)는 password가 틀린 경우이고 그림 7(d)는 제대로 사용된 경우이다. 원신호에서보다 비화된 신호에서의 상관 관계가 매우 달라짐을 볼 수 있다.

모든 실험에 있어서 system operator용 password

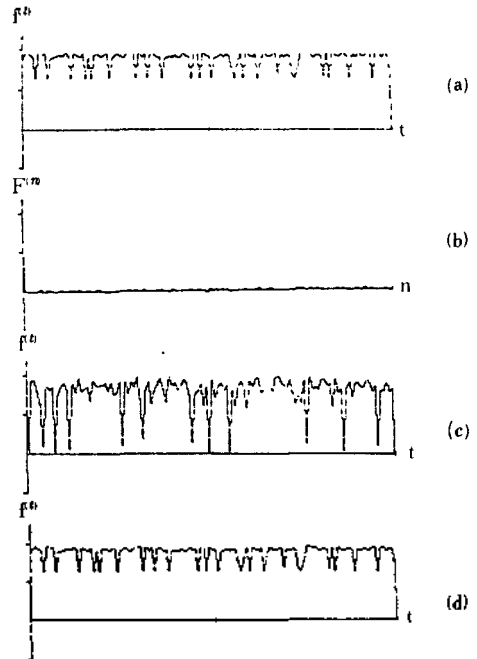


그림 7 random 패턴에 대한 비화
 (a) 발생신호
 (b) 변환·비화 신호
 (c) 틀린 password 사용 재생신호
 (d) 제 password 사용 재생신호

는 변경하지 않고 고정시킨 채로, 사용자 password의 변경에 따른 결과만 보인 것이다.

system operator용 password는 main computer의 operator용으로 이용될 수도 있고, terminal 사용자의 second-password로 쓰여 file의 load, save시 password로 사용함으로써 file의 독해뿐만 아니라 저장된 file의 변경후 저장을 방지하도록 할 수 있다. 스크램블을 위한 pseudo-random신호는 shift register방법에 의하여 해결함으로써 모든 시스템의 software화 및 firmware화가 용이하다^{(8),(9)}더구나 shift register의 data form이 Walsh 변환에 별다른 처리과정의 필요없이 적용될 수 있으므로 system의 compact화에 매우 유리하다.

IV. 결 론

본 논문에서는 최근 활발한 FFT 응용 비화 방식에 필적할만한 FWHT 응용 비화 방식에 대하여 연구하였다. ISDN을 전제로 할 경우 모든 신호가 digital화 될것임으로, binary신호인 경우 software의 algorithm변경 용이, hardware의 firmware화 간편, processing delay의 최소화라는 면에서 FWHT 방식이 FFT방식보다 유용할 것임을 제고하였으며, 기계어에 의한 password처리로 개개의 character에

임의의 문자를 모두 사용할 수 있도록 함으로써 16자란 password의 length에 비하여 3×10^8 이상의 비화도를 갖게 하여 실용성을 지닐 수 있도록 하였다.

그러나 신호의 비화 문제는 시스템 설계자와 시스템 운영정책 입안자가 서로 협조하여야만 소기의 목적을 달성할 수 있으므로 체신 관계자의 검토가 필요하며, 또 현 전화망에 응용될 경우의 신호 동기, signalling등의 문제를 배제하였는데 이는 앞으로 ISDN에서 주어질 신호 처리 방식에 대한 국내 규정의 확립이 우선되어야 할 것임으로 추후 과제로 남아 있다.

부록 FWHT Module

1	LRST	OFF	41	STA	#0303	81	PHA	
2	ORU	#B800	42	JMP	#B853	82	LDA	(\$06),Y
3	ORJ	#B800	43	LDA	#B80	83	PHA	
4	* INITIAL		44	STA	#0303	84	CLC	
5	CLD		45	LDX	#B00	85	ADC	(\$08),Y
6	LDY	#B90	46	INX		86	STA	(\$06),Y
7	STY	#07	47	TXA		87	LDA	(\$19),Y
8	STY	#09	48	PHA		88	ADC	(\$1B),Y
9	DEY		49	LDA	#B00	89	STA	(\$19),Y
10	STY	#1A	50	CLC		90	PLA	
11	STY	#1C	51	DEX		91	SEC	
12	DEY		52	BEQ	#B864	92	SBC	(\$08),Y
13	STY	#1E	53	ADC	#0304	93	STA	(\$08),Y
14	STY	#EC	54	JMP	#B859	94	PLA	
15	LDY	#B00	55	STA	#06	95	SBC	(\$1B),Y
16	STY	#0305	56	STA	#19	96	STA	(\$1B),Y
17	LDA	#0300	57	STA	#1D	97	JMP	#BCEE
18	INY		58	ADC	#0303	98	LDA	#B00
19	LSR		59	STA	#08	99	STA	(\$1D),Y
20	BNE	#B819	60	STA	#1B	100	LDA	#FF
21	STY	#0301	61	STA	#EB	101	STA	(\$1B),Y
22	INC	#0305	62	*START		102	LDA	(\$1B),Y
23	LDX	#0305	63	LDY	#B00	103	PHA	
24	LDA	#B01	64	LDA	#B00	104	LDA	(\$08),Y
25	DEX		65	CMP	(\$1D),Y	105	PHA	
26	BEQ	#B82F	66	BEQ	#B87E	106	SBC	
27	ASL		67	JMP	#B836	107	SBC	(\$06),Y
28	JMP	#B828	68	CMP	(\$EB),Y	108	STA	(\$08),Y
29	STA	#0302	69	BNE	#B8DC	109	LDA	(\$1B),Y
30	LDA	#0300	70	LDA	(\$19),Y	110	SBC	(\$17),Y
31	LDX	#0305	71	CMP	(\$1B),Y	111	STA	(\$1B),Y
32	DEX		72	BCC	#B8B5	112	PLA	
33	BEQ	#B83F	73	BNE	#B890	113	CLC	
34	LSR		74	LDA	(\$06),Y	114	ADC	(\$06),Y
35	JMP	#B838	75	CMP	(\$08),Y	115	STA	(\$06),Y
36	CLC		76	BCC	#B8B5	116	PLA	
37	ADC	#B01	77	LDA	#B00	117	ADC	(\$19),Y
38	STA	#0304	78	STA	(\$1D),Y	118	STA	(\$19),Y
39	BEQ	#B84E	79	STA	(\$EB),Y	119	JMP	#BCEE
40	LSR		80	LDA	(\$19),Y	120	LDA	(\$19),Y

121	CMP	(\$1B),Y	178	BCC	\$8C70	233	CMP	(\$08),Y
122	BCC	\$8C0F	179	BNE	\$8C4B	234	BCC	\$8CCA
123	BNE	\$8BEA	180	LDA	(\$06),Y	235	LDA	\$8FF
124	LDA	(\$06),Y	181	CMP	(\$08),Y	236	STA	(\$1D),Y
125	CMP	(\$08),Y	182	BCC	\$8C70	237	STA	(\$EB),Y
126	BCC	\$8C0F	183	LDA	\$8FF	238	LDA	(\$19),Y
127	LDA	##00	184	STA	(\$1D),Y	239	PHA	
128	STA	(\$1D),Y	185	STA	(\$EB),Y	240	LDA	(\$06),Y
129	STA	(\$EB),Y	186	LDA	(\$19),Y	241	PHA	
130	LDA	(\$19),Y	187	PHA		242	CLC	
131	PHA		188	LDA	(\$06),Y	243	ADC	(\$08),Y
132	LDA	(\$06),Y	189	PHA		244	STA	(\$06),Y
133	PHA		190	SEC		245	LDA	(\$19),Y
134	SEC		191	SBC	(\$08),Y	246	ADC	(\$1B),Y
135	SBC	(\$08),Y	192	STA	(\$06),Y	247	STA	(\$19),Y
136	STA	(\$06),Y	193	LDA	(\$19),Y	248	PLA	
137	LDA	(\$19),Y	194	SBC	(\$1B),Y	251	STA	(\$08),Y
138	SBC	(\$1B),Y	195	STA	(\$19),Y	252	PLA	
139	STA	(\$19),Y	196	PLA		253	SBC	(\$1B),Y
140	PLA		197	CLC		254	STA	(\$1B),Y
141	CLC		198	ADC	(\$08),Y	255	JMP	\$8CEE
142	ADC	(\$08),Y	199	STA	(\$08),Y	256		
143	STA	(\$08),Y	200	PLA		257	LDA	##FF
144	PLA		249	SEC		258	STA	(\$1D),Y
145	ADC	(\$1B),Y	250	SBC	(\$08),Y	259	LDA	##00
146	STA	(\$1B),Y	201	ADC	(\$1B),Y	260	STA	(\$EB),Y
147	JMP	\$8CEE	202	STA	(\$1B),Y	261	LDA	(\$1B),Y
148	*****		203	JMP	\$8CEE	262	PHA	
149	LDA	##FF	204			263	LDA	(\$08),Y
150	STA	(\$1D),Y	205	LDA	##00	264	PHA	
151	LDA	##00	206	STA	(\$1D),Y	265	SEC	
152	STA	(\$EB),Y	207	LDA	##FF	266	SBC	(\$06),Y
153	LDA	(\$1B),Y	208	STA	(\$EB),Y	267	STA	(\$08),Y
154	PHA		209	LDA	(\$1B),Y	268	LDA	(\$1B),Y
155	LDA	(\$08),Y	210	PHA		269	SBC	(\$19),Y
156	PHA		211	LDA	(\$08),Y	270	STA	(\$1B),Y
157	CLC		212	PHA		271	PLA	
158	ADC	(\$06),Y	213	CLC		272	CLC	
159	STA	(\$08),Y	214	ADC	(\$06),Y	273	ADC	(\$06),Y
160	LDA	(\$1B),Y	215	STA	(\$08),Y	274	STA	(\$06),Y
161	ADC	(\$19),Y	216	LDA	(\$1B),Y	275	PLA	
162	STA	(\$1B),Y	217	ADC	(\$19),Y	276	ADC	(\$19),Y
163	PLA		218	STA	(\$1B),Y	277	STA	(\$19),Y
164	SEC		219	PLA		278	INY	
165	SBC	(\$06),Y	220	SEC		279	CPY	\$303
166	STA	(\$06),Y	221	SBC	(\$06),Y	280	BEQ	\$8CF7
167	PLA		222	STA	(\$06),Y	281	JMP	\$8B75
168	SBC	(\$19),Y	223	PLA		282	PLA	
169	STA	(\$19),Y	224	SBC	(\$19),Y	283	TAX	
170	JMP	\$8CEE	225	STA	(\$19),Y	284	CPX	\$302
171	*****		226	JMP	\$8CEE	285	BEQ	\$8D01
172	LDA	##00	227			286	JMP	\$8B55
173	CMP	(\$EB),Y	228	LDA	(\$19),Y	287	LDA	\$305
174	BNE	\$8C97	229	CMP	(\$1B),Y	288	CMP	\$301
175	SEC		230	BCC	\$8CCA	289	BEQ	\$8D0C
176	LDA	(\$19),Y	231	BNE	\$8CA5	290	JMP	\$8D20
177	CMP	(\$1B),Y	232	LDA	(\$06),Y	291	RTS	

參 考 文 獻

1. 미상원 분과위원회, 통신 프라이버시법 통과, TIS-86-38, 1986
2. 음성 비화기 소형소자, TIS-86-9, 1986
3. 고도 정보 사회의 Security, TIS-86-14, 1986.
4. 오광우, "어셈블리어에 의한 256점 FWHT와 FFT의 변환특성 비교에 관한연구." 홍익대, 석사학위 논문, 1986. 11.
5. Risch, P.R., "Evaluation of Data Reconstruction using Walsh Functions," *Elect. Lett.* Vol.9: 21, pp.489-490, 1973.
6. Ahmed, N. and Rao, K.R., *Orthogonal Transform for the Digital Signal Processing*, Springer-Verlag, 1975.
7. 김장복, "한글음성신호의 리얼타임 인식을 위한 Walsh변환에 의한 코딩특성에 관한연구." 연세대, 박사학위 논문, 1983. 6.
8. 이근영, "쉬프트 레지스터를 사용한 순서회로의 최적실 실현," 한양대, 박사학위 논문, 1987. 7.
9. Golomb, S.W., *Shift Register Sequences*, Holden-Day, 1967.
10. Rao, K.R., *Discrete Transforms and Their Applications*, Van N.R., 1985.